

ژئوشیمی آلی سازند نایبند (تریاپس پسین) در ناحیه پروده طبس، خاور ایران مرکزی

مرتضی یوسفی^۱ و رضا بهبهانی^{۲*}

۱- سازمان زمین‌شناسی و اکتشافات معدنی کشور

نویسنده مسئول: rezabehbahani30@yahoo.com

دریافت: ۹۵/۹/۱۷ پذیرش: ۹۵/۹/۱۹

چکیده

سازند نایبند با سن تریاپس پسین (نورین-رتین) به طور گستردۀ در زیر پهنه طبس در خاور ایران مرکزی رخنمون دارد. این سازند با ۱۴۰ متر ستبرای در ناحیه پروده، عمدتاً از ماسه‌سنگ، سنگ‌آهک ماسه‌ای، مارن، شیل زغال‌دار (افق‌های زغال‌دار) و شیل تیره ساخته شده است. هدف از این پژوهش، بررسی ژئوشیمی آلی، پتانسیل هیدروکربن‌زاوی، نوع کروزن، رسن (بلوغ) گرمایی و شناخت شرایط رسوب‌گذاری سازند نایبند می‌باشد. ۸۶ نمونه از شیل‌های زغالی و شیل‌های تیره برداشت شد و توسط راک-اول VI و اکاوی شد. یافته‌های واکاوی ژئوشیمیایی نشان می‌دهد که مقدار کربن آلی کل در شیل‌های زغالی بیش از ۴ درصد وزنی و در شیل‌های تیره کمتر از ۴ درصد وزنی است. با توجه به شاخص‌هایی مانند $S_1 + S_2$ ، S_2 ، $S_1 + S_2$ ، سازند نایبند توان کمی برای تولید هیدروکربن دارد. برایه مقادیر شاخص هیدروزن، نمونه‌ها عمدتاً گازرا (شیل‌های تیره) تا درایر پتانسیل کم تولید (شیل‌های زغالی) هستند. یافته‌های این پژوهش نشان داد که بیشتر کروزن‌های این سازند در شیل‌های زغال‌دار از نوع IV و در شیل‌های تیره از نوع III و IV هستند. مقادیر بازتاب ویترینیت شیل‌های زغال‌دار ۱۱۲۰-۸۴ درصد نشان می‌دهد که شیل‌های زغال‌دار در مرحله رسیده (به دلیل سرشاری از مواد آلی اکسید شده دارای توان اندک هیدروکربن‌زاوی) قرار گرفته‌اند. چگونگی پخش نقاط در نمودار شناسایی رخساره‌آلی نشانگر وجود رخساره‌های آلی CD و (شرایط رسوبی شدیداً اکسیدان تا اکسیدان) برای این واحد سنگی است. برایه مقادیر شاخص هیدروزن و کربن آلی کل، بیشتر نهشته‌های مورد بررسی در شرایط افت نسبی تراز آب دریا نهشته شده‌اند.

واژه‌های کلیدی: سازند نایبند، ژئوشیمی آلی، هیدروکربن‌زاوی، کروزن، رخساره‌آلی

پتانسیل هیدروکربن‌زاوی توالی رسوبی تریاپس پسین

مقدمه

بررسی شد.

تا اواخر دهه ۱۹۶۰ میلادی، بیشتر زمین‌شناسان بر این باور بودند که رسوبات دریایی، سنگ منشا نفت، زغال‌ها و شیل‌های زغالی، سنگ منشا گاز می‌باشند، زیرا هیچ تطابق جغرافیایی و سنی بین میدان‌های نفتی و رسوبات زغال‌دار انجام نشده بود [۲۶]. وجود بیتومن و انباست نفت سنگین مومی که گاهی به صورت تراوش‌های نفتی در روی زمین آشکار می‌شوند، نشان می‌داد که احتمالاً زغال‌سنگ، منشا بخشی از هیدروکربن‌های مایع جهان باشد. زغال‌سنگ‌های هومیک از نظر محتوی ماسرال (اجزای آلی در مقیاس میکروسکوپی) و ترکیب شیمیایی بسیار ناهمگن می‌باشند [۲۳ و ۲۹]. مواد با منشا گیاهی مزوژوئیک و به خصوص سنوزوئیک از واکس‌ها سرشارتر بوده و پتانسل تولید هیدروکربن مایع آن‌ها بیشتر است. ماسرال‌های گروه لیپیتینیت، دارای محتوی هیدروزن بیشتری نسبت به بقیه گروه‌های ماسرالی هستند.

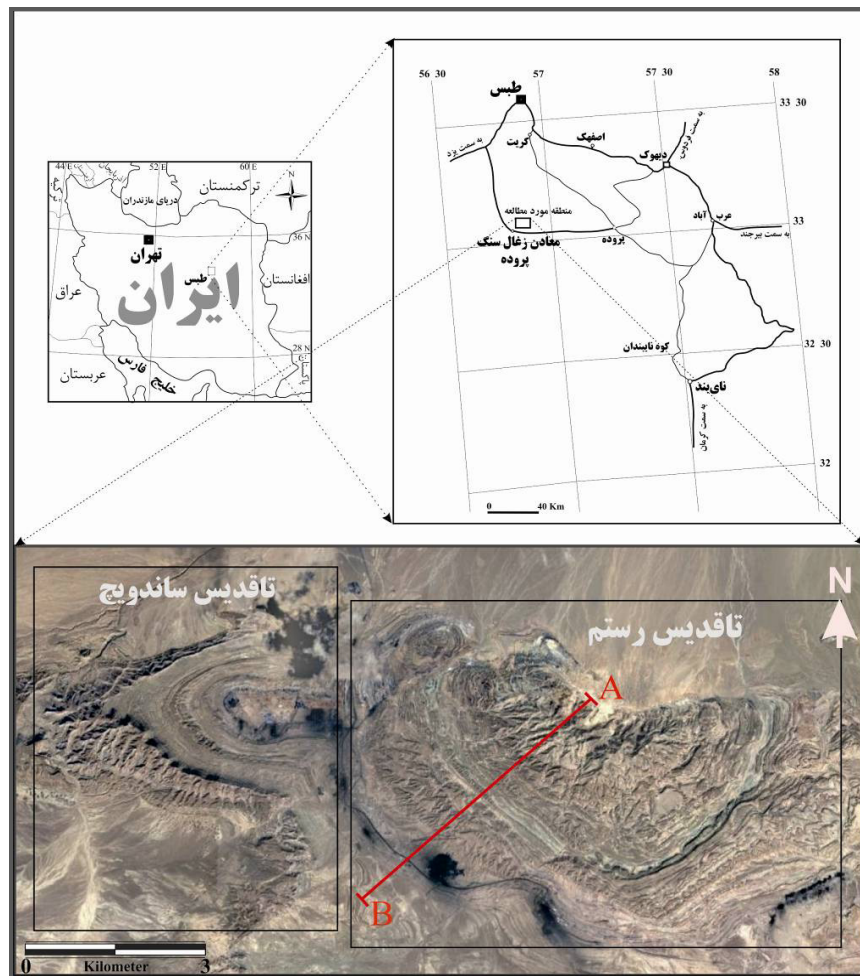
لایه‌های زغال‌دار ایران در رسوبات تریاپس پسین و ژوراسیک پیشین - میانی در حوضه‌های البرز و ایران مرکزی گسترش بسیاری دارد [۱]. سازند نایبند به عنوان کهن‌ترین عضو گروه شمشک در ایران مرکزی، به سبب دارا بودن ذخایر عظیم زغال‌سنگ، از دیرباز مورد توجه زمین‌شناسان بوده است. با آنکه پژوهش‌های بسیاری بر روی نواحی زغال‌دار ایران مرکزی انجام گرفته است [۱۴، ۱۸ و ۳۵]، با این حال و به رغم وجود توالی‌های بسیار ستبر شیل‌های زغالی و شیل‌های تیره این واحد سنگی، هنوز پژوهش جامعی در مورد ژئوشیمی آلی و توان هیدروکربن‌زاوی احتمالی آن انجام نشده است. ناحیه زغال‌دار پروده در جنوب طبس، رخنمون‌های نسبتاً کاملی از نهشته‌های تریاپس پسین و ژوراسیک را داراست که به جهت انجام بررسی‌های ژئوشیمی آلی و پتانسیل احتمالی هیدروکربن‌زاوی، در خور توجه هستند. در این پژوهش با بررسی یافته‌های برگرفته از پیروولیز راک-اول،

در سمت راست، جاده فرعی به طول ۶۰ کیلومتر وجود دارد که راه ویژه معادن زغال‌سنگ پروده است. همچنین، برای دسترسی به سایر نقاط منطقه مورد مطالعه می‌توان از جاده‌های خاکی اکتشافی که در گذشته برای ترابری دستگاه‌های حفاری به محل چاههای اکتشافی زغال‌سنگ بهره‌گیری می‌شده است، آمدوشد نمود. قاعده برش چینه‌شناسی اندازه‌گیری شده در پهنه‌ی جغرافیایی ۴۴° ۳۳' ۰۰" N و درازای جغرافیایی " ۵۶° ۵۳' ۴۸" E قرار دارد و مختصات مرز میان سازند نایبند و آب‌حاجی در برش مورد مطالعه در پهنه‌ی جغرافیایی " ۵۹° ۳۰' ۰" N و درازای جغرافیایی " ۵۶° ۴۹' ۴۵" E واقع شده است (شکل ۱).

بنابراین هرچه مقدار این گروه ماسوال در سنگ بیشتر باشد، مقدار هیدروکربن مایع تولید شده بیشتر خواهد بود [۲۵ و ۲۸]. این نوع زغال‌سنگ‌ها که توان تولید و تراویش نفت‌های بدون مواد فرار دارند (API=25-35) وابسته به کرتاسه و ترشیاری هستند و در استرالیا، زلاندنو و آسیای جنوب خاوری گسترش دارند [۱۵]. در یک پژوهش [۲]، افق‌های زغال‌دار (زغال‌سنگ هومیک دارای ماسوال‌های ویترینیت و لیپتینیت) سازنده پابده در شمال باختری ایلام بررسی شد و به عنوان یک سنگ منشا هیدروکربن مایع در نظر گرفته شد.

جایگاه جغرافیایی و راه‌های دسترسی

مناسب‌ترین راه دسترسی به برش مورد بررسی از راه طبس- یزد شدنی است. پس از طی نزدیک ۲۰ کیلومتر،



شکل ۱. جایگاه جغرافیایی، راه‌های دسترسی، تصویر ماهواره‌ای تاقدیس رستم و جایگاه قرارگیری پایین (A) و بالای (B) برش چینه‌شناسی مطالعه شده در این پژوهش

حوضه رسوی و تنهشست ستری از رسوبات نواحی کم‌زرفا و کرانه‌ای (سازند نایبند) در مدت زمانی کوتاه شده است. تا پایان تریاس پسین، شرایط یادشده تقریباً باقی ماند. با آغاز ژوراسیک، پسروی سریع دریا سرتاسر ناحیه را فرا گرفت و ماسه‌سنگ‌های دانه درشت کوارتز-فلدسباتی بخش قاعده‌ای و میکروکنگلومرا ای باخی میانی سازند آب‌جاجی نهشته شد. در هنگام رسوب‌گذاری سنگ‌آهک‌های الیتی سازند بادامو، محیط رسوی، کشندی و پرانرژی بود. با شدت گرفتن جنبش‌های زمین‌ساختی سیمیرین میانی در ژوراسیک میانی، تمامی ناحیه از آب بیرون آمد و کنگلومراها و ماسه‌سنگ‌های قاعده سازند پروده را پدید آورد. سپس دریا به آرامی پیشروی نمود و در یک محیط دریایی با ژرفای کم تا متوسط، سازندهای پروده و بغمشهای نهشته شدند (شکل ۲) [۶، ۳۶ و ۳۷].

زمین‌شناسی منطقه

بلوک طبس بخشی از خرده قاره ایران مرکزی است که میان گسل‌های نایبند در خاور و کلمرد-کوهبنان در باختر قرار دارد. همزمان با فعالیت‌های گستردۀ فاز کوه‌زایی سیمیرین پیشین در زمان تریاس پسین که بیشتر نواحی ایران مرکزی را تحت تاثیر قرار داد، شرایط ساحلی تا دریایی کم‌زرفا در این ناحیه حکم‌فرما شد و سبب ساخت و گسترش جنگلهای وسیع و توربازارهایی گردید که بعدها، زغال‌سنگ‌های تریاس پسین منطقه پروده را پدید آورده‌اند. شرایط کرانه‌ای تا دریایی با پیشروی و پسروی‌های پیاپی دریا تغییر نمود و سبب تنهشینی چرخه‌های متعددی از رسوبات قاره‌ای تا دریایی نیمه‌زرف گردید. رژیم زمین‌ساختی منطقه زیر تاثیر گسل‌های کهن و اصلی ناحیه (گسل‌های کلمرد و نایبند) از نوع انبساطی بود که سبب کشش و فرونشست سریع

شکل ۲. مگاسکانس بالقوه محلی بلوک طبس

توضیف صحرایی	لایه‌نحوی (متر)	سازند	گروه	دوران	توضیف صحرایی	لایه‌نحوی (متر)	سازند	گروه	دوران
سنگ آهک و سنگ آهک دولومیتی	750	جمال	پرمن		سنگ آهک و سنگ آهک دولومیتی	300	300	شیل	پلیوسن
شیل، ماسه سنگ و سنگ آهک	1000	سردر	کربونیفر		شیل، ماسه سنگ و سنگ آهک	500	500	شیل، ماسه سنگ، سنگ آهک و مارن	پالئوسن
تابوب شیل و سنگ آهک ماسه‌ای	200	شیشو	کربونیفر		تابوب شیل و سنگ آهک ماسه‌ای	100	100	لایه‌های کرده و آهک	کرتاسه
آهک و مارن	300	بهرام	کربونیفر		آهک و مارن	500	500	آهک نوده ای تا صافیم زیپی، خاکستری ناگرم و وزد روشن	کرتاسه
دولومیت	300	سیزار	کربونیفر		دولومیت	1000	1000	تابولی شیل و ماسه سنگ در قاعده و آهک های منوشه لایه در بالا	مکو
ماسه سنگ و دولومیت	700	بادها	سلورین		ماسه سنگ و دولومیت	700	700	مارن، شیل، آهک و شیل	کرتاسه
آهک، ماسه سنگ و مارن	600	نور	سلورین		آهک، ماسه سنگ و مارن	1000	1000	سنگ آهک آموخته دار	کرتاسه
سیلسیتون، مارن، سنگ آهک و شیل	600	شیرکشت	اردوسین		سیلسیتون، مارن، سنگ آهک و شیل	700	700	تابولی شیل، ماسه سنگ و شیل	کرتاسه
سنگ آهک، سیلسیتون، دولومیت و شیل	1200	درنچال	اردوسین		سنگ آهک، سیلسیتون، مارن، سنگ آهک و شیل	150	150	در پایین با میانهای از آهک در بالا	کرتاسه
دولومیت، سنگ آهک، شیل، مارن با سنگ های آذین پازیک	1000	کلستانه	اردوسین		دولومیت، سنگ آهک، شیل، مارن با سنگ های آذین پازیک	1000	1000	دولومیت های لایه‌ای خاکستری تیره متراکم و مصروفه سار دارای بخش آهک اسپیک در بالا	کرتاسه
ماسه سنگ قرمز، شیل و کوارتزیت سفید	500	لاون	کربونی		ماسه سنگ قرمز، شیل و کوارتزیت سفید	500	500	شیل، میانهای از آهک های سرخ	کرتاسه
شیل های ماسه‌ای و ماسه سنگ های قرمز	500	زایکون	کربونی		شیل های ماسه‌ای و ماسه سنگ های قرمز	1000	1000	ماسه سنگ	کرتاسه
دولومیت، شیل های ماسه‌ای و ماسه سنگ های قرمز	400	سلطانیه	کربونی		دولومیت، شیل های ماسه‌ای و ماسه سنگ های قرمز	500	500	ماسه سنگ	کرتاسه
تاقی‌بیانی از سنگ آهک، شیل و سیلسیتون	600	تاقی‌بیانیه	کربونی		تاقی‌بیانیه از سنگ آهک، شیل و سیلسیتون	1000	1000	در پایین با میانهای از آهک در بالا	کرتاسه
تاقی‌بیانیه از سنگ آهک، شیل و سیلسیتون	600	تاقی‌بیانیه	کربونی		تاقی‌بیانیه از سنگ آهک، شیل و سیلسیتون	1000	1000	دولومیت های لایه‌ای خاکستری تیره متراکم و مصروفه سار دارای بخش آهک اسپیک در بالا	کرتاسه
دگ‌کوکی در عرض ایوان از نوع اسپیک	200	تاقی‌بیانیه	کربونی		دگ‌کوکی در عرض ایوان از نوع اسپیک	200	200	شیل، میانهای از آهک های سرخ	کرتاسه

شکل ۲. مگاسکانس بالقوه محلی بلوک طبس (با اندکی تغییرات، برگرفته از یوسفی و همکاران [۱۱])

شده است (شکل ۱). شیب لایه‌های در یال‌های شمالی و جنوبی تاقدیس برابر نیست، به طوری که در یال جنوبی در حدود ۲۰ تا ۳۰ درجه اندازه‌گیری شد و در یال شمالی بسیار بیشتر از این مقدار می‌باشد و حتی در بخش‌های میانی چین، لایه‌هایی برگشته است [۳، ۴، ۶ و ۱۰].

در ناحیه پروده، بیشترین ستری از سازند نایبند در تاقدیس رستم رخنمون دارد. این تاقدیس، تقریباً گنبدی شکل است و محور خاوری-باختری با تقریبی به سمت جنوب دارد. درازای محور چین به بیشتر از ۵ کیلومتر می‌رسد. هر چهار پاره‌سازند رسمی سازند نایبند در این تاقدیس رخنمون دارند، با این حال، بخشی از یال شمالی این چین به سبب کارکرد گسل رستم، بریده و حذف

ماسه‌سنگ‌های نازک لایه سبز روشن ساخته شده است (شکل ۳). نجفیان و جعفریان [۹] و نجفیان [۸] بر این باورند که سازند نایبند در ایران مرکزی دارای گسترش فراوان و محیط‌های رسوب‌گذاری متنوعی می‌باشند. ایشان با مطالعه و بررسی سیستماتیک بُرشهای متفاوت سازند نایبند در ایران مرکزی به این دستاورده رسیدند که پاره سازند گلکن به طور کلی در یک محیط توفانی، پاره سازند حوض شیخ در محیط کم انرژی، پاره سازند بیدستان در دلتا و کانال‌های دلتایی و پاره سازند حوض خان از نهشته‌های ریفی ساخته شده‌اند. منانی و ارزانی [۹] با مطالعه سازند نایبند در شمال اصفهان، محیط رسوبی شلف باز آواری-کربناته و زیر اثر امواج توفانی را برای این سازند در نظر گرفتند. علیزاده و همکاران [۱۲]، ضمن در نظر گرفتن یک محیط دریایی به عنوان محیط تهنشینی سازند نایبند در برش کمرماچه کوه، پتانسیل هیدروکربن‌زایی این واحد سنگی را اندک عنوان کردند. یوسفی [۱۰]، بر پایه گسترش چینه‌شناسی ماقرو و میکروفسیل‌های گیاهی و حضور فرم‌های شاخص، محدوده سنی تریاس پسین (نورین-رتین) را برای سازند نایبند در ناحیه پروده پیشنهاد نمود. نامبره بر پایه برتری کامل عناصر گرده‌شناسی قاره‌ای (اسپور، پولن و خردک‌های گیاهان خشکی‌زی) نسبت به گرددیرخت‌های (پالینومرف‌های) دریایی (داینوفلازله‌ها و پوسته داخلی فرامینیفر)، محیط رسوبی این واحد سنگی را یک محیط دلتایی-مردابی تا دریایی کرانه قاره دانستند.

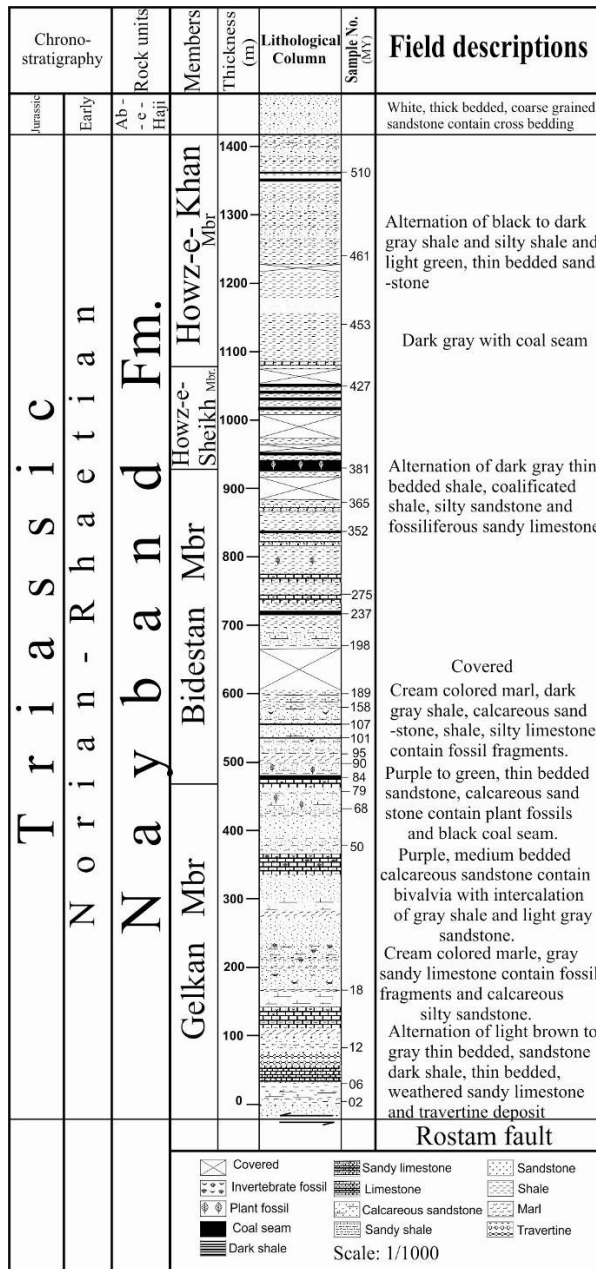
اهداف و روش‌ها

در این پژوهش، شیل‌های زغالی و لایه‌های شیلی تیره دارای مواد آلی سازند نایبند با بهره‌گیری از داده‌های پیروزیز راک- اوال از دیدگاه پتانسیل هیدروکربن‌زایی بررسی شد. در مجموع ۸۶ نمونه از افق‌های مختلف برای انجام بررسی‌های ژئوشیمیایی آلى (۲۱ نمونه شیل زغالی و ۶۵ نمونه شیل‌های دارای مواد آلی) به صورت سیستماتیک برداشت گردید. به منظور ارزیابی توان هیدروکربن‌زایی سازند نایبند از دستگاه پیروزیز راک-اوال نوع VI در انتستیتو زمین‌شناسی، ژئوشیمی نفت و زغال‌سنگ دانشگاه RWTH آخن کشور آلمان استفاده شد. این واکاوی، داده‌های با ارزشی از نوع کروزن،

چینه‌شناسی و محیط رسوبی سازند نایبند
ستبرای سازند نایبند در برش چینه‌شناسی پروده در محل تاقدیس رستم، ۱۴۱۰ متر اندازه‌گیری شد. مرز پایین این واحد سنگی گسله و مرز بالای آن با سازند آب حاجی پیوسته و هم شیب است (شکل ۴ ب و ح). بخش‌های مختلف سازند نایبند در برش پروده در مقایسه با برش الگو، از تعییرات رخساره‌ای ناچیزی برخوردار است و تبدیل پاره‌سازندها به یکدیگر بسیار تدریجی است (شکل ۳). به همین سبب، جداسازی پاره‌سازندهای مختلف در ناحیه مورد بررسی به نسبت دشوار است. در ناحیه پروده، سازند شتری (تریاس میانی) و بخش زیرین پاره‌سازند گلکن بر اثر فعالیت گسل رستم از بین رفته است (شکل ۴ ب). در حالی که سازند نایبند در برش الگو دارای مرز نمایانی با سازند شتری است. این موضوع باعث اختلاف دیدگاه میان کارشناسان شرکت ملی فولاد ایران [۱۳] و زمین‌شناسان سازمان زمین‌شناسی کشور [۱۴] شده است. به این معنی که زمین‌شناسان شرکت فولاد بر این باورند که پاره‌سازند حوض خان در ناحیه پروده وجود دارد و نهشته‌های زیر آن با دو پاره سازند حوض شیخ و بیدستان قابل مقایسه است و پاره‌سازند گلکن در ناحیه پروده وجود ندارد. نیاز به یادآوری است که در این پژوهش، تقسیمات رسمی چهارگانه برونینم و همکاران [۱۳] که در سال ۱۳۵۵ به تصویب کمیته ملی چینه‌شناسی ایران رسیده است [۷]، ملاک قرار گرفته است. بر پایه برداشت‌های میدانی، پاره‌سازند گلکن از پایین به بالا به ترتیب از تناب ماسه‌سنگ‌های قهوه‌ای روشن تا خاکستری نازک‌لایه با ریپل‌مارک (شکل ۴ پ)، شیل، سنگ‌آهک‌ماسه‌ای، مارن کرم، سنگ‌آهک‌ماسه‌ای خاکستری رنگ و ماسه‌آهکی ارغوانی متوسط لایه دارای دوکفه‌ای ساخته شده است. پاره‌سازند بیدستان به ترتیب از ماسه‌سنگ نازک لایه ارغوانی تا سبز، ماسه‌سنگ آهکی دارای فسیل‌های گیاهی، شیل‌های زغالی سیاه، مارن کرم، شیل خاکستری سیاه (شکل ۴ الف) و ماسه‌آهکی ساخته شده است. هم‌چنین پاره‌سازند حوض شیخ از تناب شیل‌های تیره نازک لایه با افق‌های دارای گوگرد (شکل ۴ ت)، شیل زغالی، ماسه‌سنگ‌های سیلیتی و سنگ‌آهک‌های ماسه‌ای و پاره‌سازند حوض خان از شیل‌های زغالی سیاه تا خاکستری تیره (شکل ۴ ج) و تناب شیال‌های خاکستری تیره، شیل سیلیتی و

برش پروده مورد بررسی قرار گرفت. همچنین ضریب بازتاب و پترینیت شیل‌های زغالی برای شناسایی درجه روش گرمایی مواد آلی، در دانشگاه RWTH آخن با بهره‌گیری از میکروسکوپ پتروگرافی آلی فتومتردار محاسبه شد.

مقدار کربن آلی کل، شرایط اکسایش و کاهش محیط رسوبی و مهاجرت هیدروکربن از سنگ منشأ را در اختیار پژوهشگران قرار می‌دهد [۲۶]. در این پژوهش، همیستگی میان پارامترهای پیرولیزی S_1 , S_2 و S_3 ، مقدار کربن آلی کل، شاخص هیدروژن (HI)، شاخص اکسیژن (OI) و شاخص پتانسیل هیدروکربن زایی (PI) سازند ناییند در



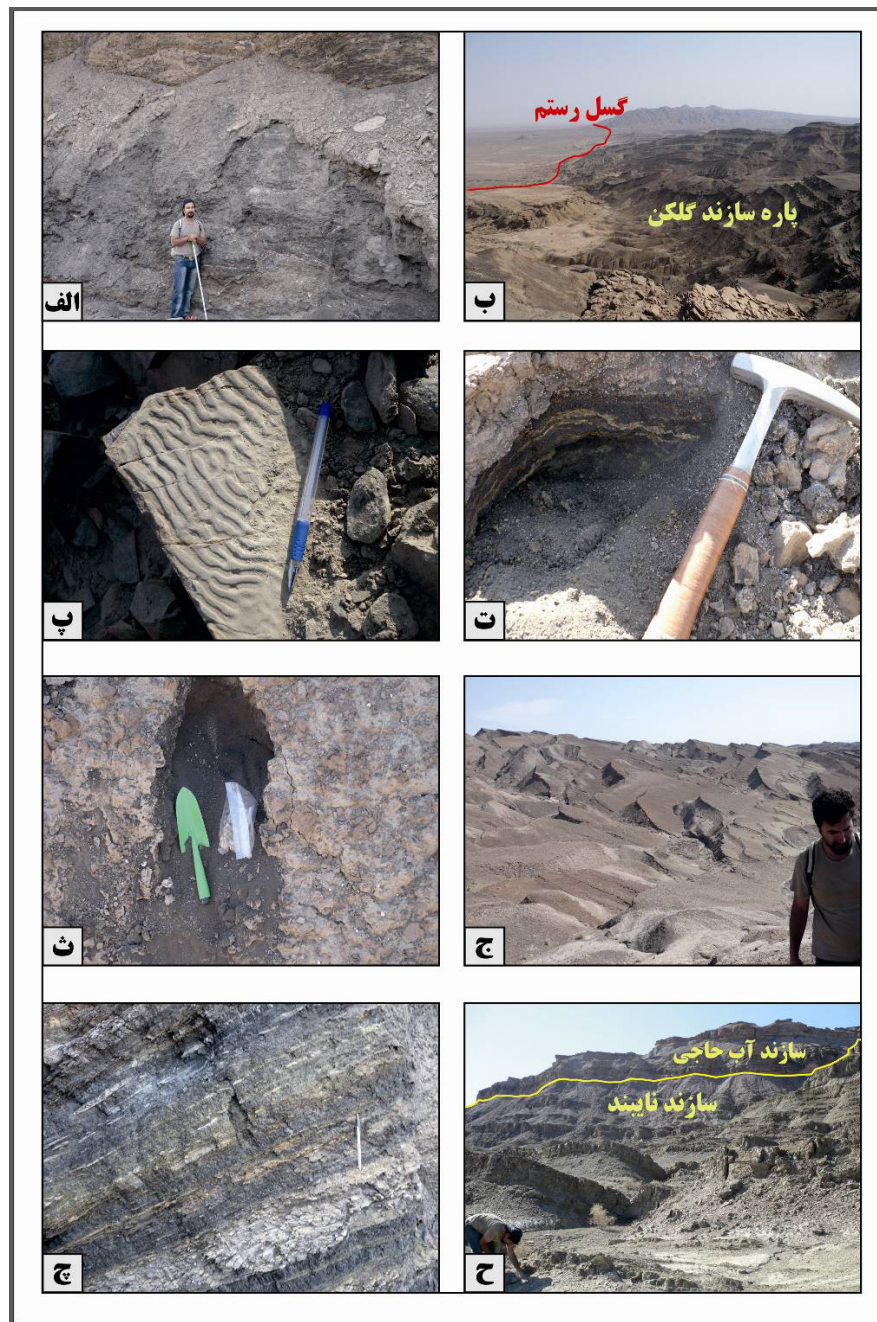
شکل ۳. ستون چینه‌شناسی سازند نایبند در برش تاقدیس رستم، ناحیه پروده طبس

تاثیر هوازدگی در آن‌ها کمترین باشد (شکل ۴). نیاز به یادآوری است که اندیس T_{\max} به دلیل کم بودن مقدار HI در تمام نمونه‌های زغالی و حدود ۵۰ درصد شیل‌های

نمونه‌های برداشت شده در بازدیدهای میدانی، عمدتاً از شیل‌های خاکستری تیره و شیل‌های زغالی انتخاب و از ژرفای ۵۰ سانتی‌متری از سطح زمین اخذ شدند تا میزان

ارزش است و از آن به هیچ وجه در تفسیر و تحلیل برخی از نمونه‌های شیل زغالی و شیل‌های تیره دارای اعتبار نیست و مقدار قابل اتقای آن‌ها پس از حذف موارد بدون اعتبار در تفسیر نتایج مورد استفاده قرار گرفت [۲۶].

تیره مطالعه شده (کمتر از 50 mgHc/gTOC) بدون ارزش استفاده نشده است. همچنین، ان迪س‌های OI و S_3 به دلیل کم بودن مقدار TOC (کمتر از 0.5% درصد وزنی) در برخی از نمونه‌های شیل تیره و ان迪س PI به دلیل کم بودن مقدار S_2 (کمتر از 0.2 mgHc/gRock) در



شکل ۴. بخش‌های گوناگون سازند نایبند در ناحیه پروده، الف: لایه‌های ستابر شیل‌های تیره، ب: مرز زیرین سازند نایبند که زیر تاثیر فعالیت گسل رستم، گسله است، پ: ریپل مارک‌های موجود در پاره‌سازند گلکن، ت: لایه‌های شیلی دارای افق‌های گوگرد، ث: نمونه برداشت از شیل‌های خاکستری تیره از ژرفای ۵۰ سانتی‌متری، ج: تناوب شیل و ماسه‌سنگ و ایجاد ساختمان کواستا، ج: لایه‌های شیل زغالی در پاره‌سازند حوض خان و ح: مرز فوقانی سازند نایبند با سازند آب حاجی

منشا [۳۳] در جدول ۱ و نتایج حاصل از پارامترهای پپرولیز راک-اوال در جدول ۲ آورده است.

نمونه‌های دارای کربن آلی کل بیش از ۴ درصد وزنی به عنوان شیل زغالی و نمونه‌های دارای کربن آلی کل کمتر از ۴ درصد وزنی به عنوان شیل‌های تیره دارای مواد آلی در نظر گرفته شده‌اند. ضریب بازتاب ویترینیت فقط برای نمونه‌های شیل زغالی شناسایی شد.

بررسی‌های ژئوشیمیایی

نمونه‌های مناسب برای انجام بررسی‌های ژئوشیمیایی آلی به صورت سیستماتیک برداشت شد و مورد واکاوی دستگاه راک-اوال ۶ قرار گرفت. نتایج حاصل از واکاوی نمونه‌ها در نمودارهای ژئوشیمیایی مناسب ترسیم و یافته‌های آن تفسیر شد. مقادیر شاخص پارامترهای حاصل از پپرولیز برای شناسایی کیفیت، کمیت و رسنگ گرمایی سنگ‌ها

جدول ۱. مقادیر شاخص پارامترهای حاصل از پپرولیز برای تعیین کیفیت، کمیت و رسنگ گرمایی سنگ‌های منشا [۳۳]

Quantity	TOC (wt %)	S ₁ (mg HC/g rock)	S ₂ (mg HC/g rock)
Poor	0-0.5	0-0.5	0-2.5
Fair	0.5-1	0.5-1	2.5-5
Good	1-2	1-2	5-10
Very good	2-4	2-4	10-20
Excellent	> 4	> 4	> 20
Quality	HI (mg HC/g TOC)	S ₂ /S ₃	Kerogen type
None	<50	<1	IV
Gas	50-200	1-5	III
Gas and Oil	200-300	5-10	II/III
Oil	300-600	10-15	II
Oil	>600	>15	I
Maturation	R _o (%)	T _{max} (°C)	TAI
Immature	0.2-0.6	<435	1.5-2.6
Mature	Early	435-445	2.6-2.7
	Peak	445-450	2.7-2.9
	Late	450-470	2.9-3.3
Postmature	>1.35	>470	>3.3

انواع ماسوال‌های گوناگون تشکیل‌دهنده، به درجه دگرسانی مراحل اولیه دیاژنز نیز بستگی دارد [۲۶، ۲۷ و ۳۰].

در این بخش برای شناسایی نوع ماده آلی (نوع کروزن) از نمودار HI/OI [۳۳] (شکل ۴)، برای بررسی پتانسیل تولید از نمودار S₂/TOC [۲۴] (شکل ۶) و برای شناسایی رخساره‌های آلی از نمودار HI/OI [۲۸] (شکل ۷) بهره‌گیری شد.

شناسایی نوع کروزن در ارزیابی پتانسیل هیدروکربن‌زایی از اهمیت بسیاری برخوردار است. نوع کروزن کنترل کننده نوع هیدروکربن تولید شده است. به دلیل نامتعبربودن اندیس T_{max} در این پژوهش، برای شناسایی نوع کروزن نمونه‌های زغالی نمی‌توان از نمودار HI/T_{max} بهره‌گیری شد و برای این منظور، نمودار HI/OI به کار گرفته شد (شکل ۵). بر پایه این نمودار، تمام شیل‌های زغالی مطالعه شده، دارای کروزن نوع IV (کروزن سرشار از اینترینیت؛ مواد آلی اکسید شده) هستند. این کروزن‌تونایی تولید نفت یا گاز ندارد. کروزن‌های سرشار از

بررسی‌های ژئوشیمیایی شیل‌های زغالی

این مطالعات شامل سنجش پارامترهای پپرولیزی و درصد انعکاس ویترینیت بر روی ۲۱ نمونه از شیل‌های زغالی می‌باشد که میزان بیشینه و کمینه هر یک از آن‌ها در قالب جدول ۳ آورده شده است.

بحث

مطالعات انجام شده در شیل‌های زغالدار در مناطق مختلف جهان، نشان می‌دهد که اگر نسبت اتمی H/C زغال‌ها از ۰/۸ و HI آن‌ها از ۲۰۰ mgHc/gTOC بیش‌تر باشد، این شیل‌های زغالی توانایی تولید هیدروکربن سیال را خواهند داشت. ماسوال‌های گروه لیپتینیت در زغال‌ها، دارای محتوای هیدروزن بیش‌تر نسبت به بقیه گروه‌های ماسوالی نظیر ویترینیت (ماسوال گاززا) هستند. بنابراین هر چه مقدار این ماسوال‌ها در سنگ بیش‌تر باشد، مقدار هیدروکربن سیال تولید شده بیش‌تر خواهد بود. نیاز به یادآوری است که پتانسیل تولید هیدروکربن سیال شیل‌های زغالی، افرون بر مقدار

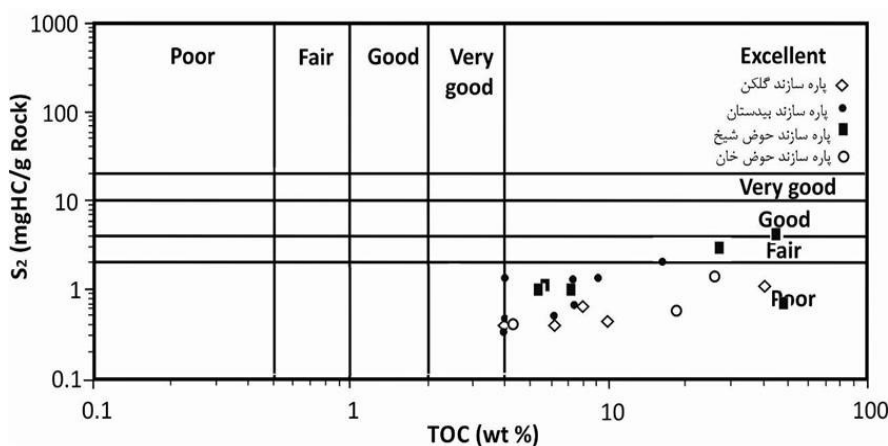
(۰/۰۶ تا ۰/۹۲) حاصل از پیرولیز در نمونه‌های مورد بررسی با مقادیر استاندارد، نشان‌دهنده نبود کیفیت تولید برای نمونه‌های بررسی شده (HI کمتر از $\text{mg HC/g TOC} = 50$ و نسبت S_2/S_3 کمتر از ۱) است. برای شناسایی رخساره‌های آلی نمونه‌های مورد بررسی، نمودار HI/OI به کار برد شد [۲۸] (شکل ۷). در این نمودار، محدوده رخساره‌ای D برای شیل‌های زغال‌دار سازند نایبند شناسایی گردید. رخساره شناسایی شده عموماً بدون توانایی تولید هیدروکربن است (به استثنای درجات رشش زیاد که دارای پتانسیل تولید گاز خشک است) [۲۸]. چنین رخساره‌ای با نوع کروزن شناسایی شده (کروزن نوع IV) سرشار از مواد آلی اکسید شده مطابقت دارد. در جدول ۴، مشخصات و ویژگی‌های کامل مطابقت دارد. در شکل ۷ آورده شده است.

مقایسه محیط رسوبی معروفی شده در شکل ۷ رخساره D در جدول ۴ (اقیانوسی ژرف تا قاره‌ای) و محیط رسوبی شناسایی شده بر پایه مطالعات گرددشناختی در این ناحیه (محیط دلتایی- مردابی تا دریای حاشیه قاره) [۱۰]، نشان‌دهنده محیط اکسیدان متاثر از ورود مواد آلی شدیداً اکسید شده است. در جدول ۵، ارتباط بین رخساره‌های آلی با محیط رسوب‌گذاری نشان داده شده است. بر این پایه، مواد آلی شیل‌های زغالی سازند نایبند از نوع قاره‌ای (اکسیدی) بوده و رسوب‌گذاری آن‌ها آرام در آبهای شدیداً اکسیژن‌دار و در بخش‌های دور از منشا انجام گرفته است.

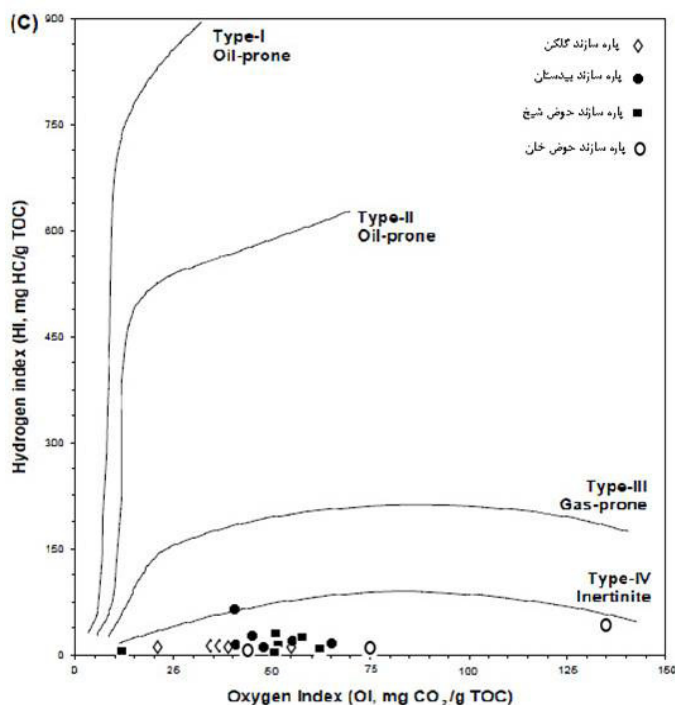
اکسیژن معمولاً دارای اندیس S_1 پایین هستند که مقادیر پایین این اندیس در نمونه‌های مطالعه شده (۰/۰۳-۰/۷۱) $S_1 = 0/05-0/18$ (PI) در نمونه‌های زغالی کاملاً طبیعی است و اصولاً شاخص تولید، اندیس مناسبی برای شناسایی پتانسیل هیدروکربن‌زاویی نمونه‌های زغالی نیست [۳۸]. بر پایه ضریب انکاس ویترینیت نمونه‌های زغالی (۰/۸۴-۱/۱۲ درصد)، این نمونه‌ها در مرحله رسیده و از نظر تولید هیدروکربن در پنجره تولید نفت (R_o = ۰/۶-۱/۲٪) قرار می‌گیرند. ولی به دلیل سرشار بودن از مواد آلی اکسید شده، بدون توان تولید هیدروکربن هستند.

مقایسه مقادیر S_1 و S_2 حاصل از پیرولیز راک-اوال در نمونه‌های مورد بررسی با مقادیر استاندارد (جدول ۱) و S_2/TOC نیز جایگاه قرارگیری نمونه‌های زغالی در نمودار (شکل ۶)، نشان می‌دهد که از نظر پتانسیل تولید، ۹۲ درصد نمونه‌ها در محدوده ضعیف و ۸ درصد از نمونه‌ها (برخی از نمونه‌های پاره‌سازند حوض شیخ) در محدوده نسبتاً خوب با $S_1/5-1 \text{ mgHC/gRock}$ و $S_2/5-1 \text{ mgHC/gRock}$ قرار می‌گیرند.

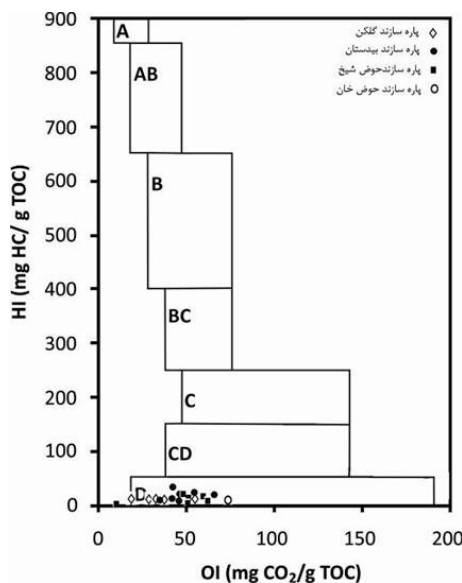
به دلیل پایین بودن مقادیر اندیس هیدروزن نمونه‌های زغالی (کمتر از 50 mgHC/gTOC)، نمی‌توان در این پژوهش از نمودار HI/TOC معرفی شده توسط جکسون و همکاران [۲۷] برای شناسایی غنای سنگ منشا و نوع پتانسیل تولیدی استفاده کرد. مقایسه مقادیر S_2/S_3 و TOC (wt %)



شکل ۵. نمودار S_2/TOC شیل‌های زغالی سازند نایبند [۲۶]، بیشتر نمونه‌های بررسی شده دارای توان کم تولید هیدروکربن هستند.



شکل ۶. نمودار HI/OI شیل‌های زغالی سازند نایبیند [۳۳] نمونه‌های بررسی شده دارای کروزن نوع IV هستند.



شکل ۷. نمودار HI/OI شیل‌های زغالی سازند نایبیند [۲۸]، نمونه‌های بررسی شده در رخساره D قرار گرفته‌اند.

بحث

مطالعاتی که بر روی رسوبات دارای مواد آلی در نقاط گوناگون جهان انجام شده است، نشان می‌دهد که در T_{\max} ۴۳۵-۴۶۵ درجه سانتی‌گراد، HI (بیش از S_1)، S_2 (mg Hc/g Rock > 300)، TOC (بیش از ۲ درصد) و S_3/S_2 (بیش از ۱۰ و R_o (درصد) شرایط وزنی)،

بررسی‌های ژئوشیمیایی شیل‌های تیره

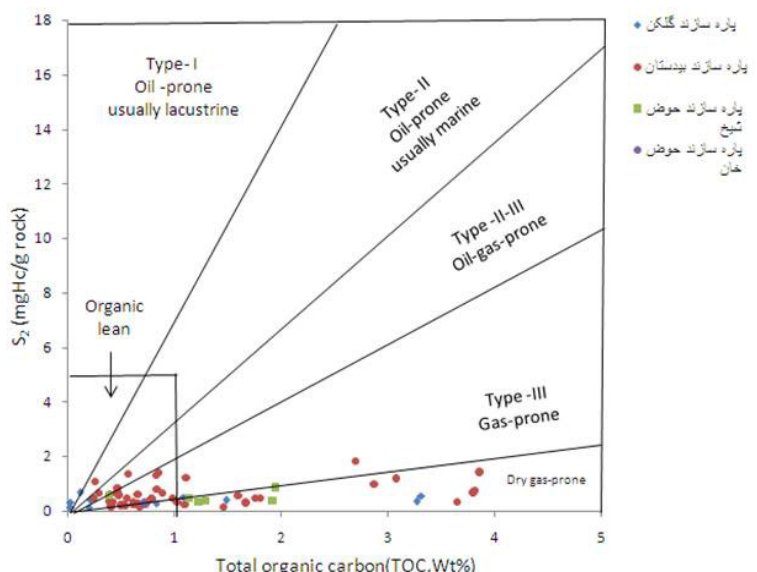
این بررسی‌ها شامل سنجش پارامترهای پیروولیزی بر روی نمونه از شیل‌های تیره سازند نایبیند باشد. مقادیر بیشینه و کمینه پارامترهای پیروولیزی در نمونه‌های مورد بررسی پس از حذف داده‌های نامعتبر در قالب جدول ۶ آورده شده است.

گاز) تشکیل شده است (شکل ۸). همچنین نمونه‌های شیلی با کمتر از یک درصد وزنی دارای کروزن‌های نوع IV (حدود ۴۲ درصد)، نوع III (حدود ۴۵ درصد)، آمیخته نوع II/III (حدود ۸ درصد)، دارای پتانسیل تولید گاز و نفت و نوع II (حدود ۵ درصد؛ با منشا دریایی و سرشار از ماسرال لیپتینیت، دارای پتانسیل تولید نفت) هستند (شکل ۹). در مجموع، نمونه‌های شیلی تیره سازند نایبند عمدتاً دارای کروزن‌های نوع IV و نوع III (شکل ۱۰) هستند. با استفاده از نمودار تغییرات HI/TOC (شکل ۱۰) می‌توان درجه سرشابودن سنگ منشا را ارزیابی نمود [۲۷]. نمونه‌های مورد بررسی بیشتر از نوع گاززا (۵۸ درصد نمونه‌ها) و دارای توانایی تولید گاز با کمی نفت (۱۹ درصد از نمونه‌های پاره‌سازند بیدستان و گلکن) و به مقدار کمتر دارای توانایی تولید نفت نسبتاً خوب (۱۸ درصد نمونه‌ها) و توان کم تولید هیدروکربن (۵ درصد از نمونه‌های پاره سازند بیدستان و گلکن) هستند. با توجه به یافته‌های برگرفته از شکل ۱۰ و مقایسه مقادیر HI (عمدتاً کمتر از ۲۰۰ mgHc/gTOC) حاصل از پیرولیز راک-اوال در نمونه‌های مورد بررسی با مقادیر استاندارد (جدول ۱)، عمدت نمونه‌های مطالعه شده گاززا هستند. همچنین مقایسه مقادیر S_1 و S_2 نمونه‌های مورد بررسی با مقادیر استاندارد نشان می‌دهد که از نظر پتانسیل تولید در محدوده ضعیف (S_1 کمتر از ۰/۵ mgHc/gRock و S_2 کمتر از ۲/۵ mgHc/gRock) قرار می‌گیرند.

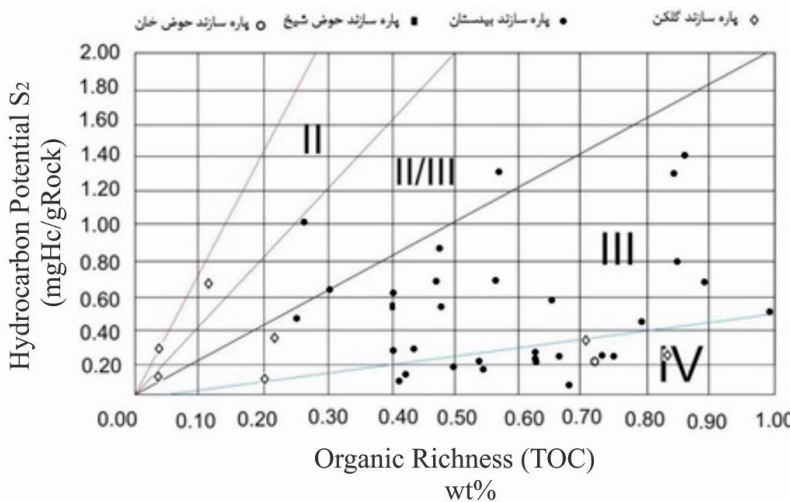
برای ایجاد یک سنگ منشا با کیفیت بسیار خوب و تولید هیدروکربن مایع (نفت) آماده است [۱۹، ۲۱، ۲۲، ۲۶ و ۲۹].

در این بخش، برای شناسایی نوع ماده آلی (نوع کروزن) از نمودار S_2/TOC [۳۳] (شکل ۸)، برای شناسایی و TOC جدایش دقیق‌تر انواع مواد آلی نمونه‌های دارای TOC کمتر از ۱ درصد وزنی از نمودار S_2/TOC گودارد و همکاران [۲۰] (شکل ۹)، برای شناسایی نوع پتانسیل تولیدی نمودارهای HI/TOC (شکل ۱۰)، به منظور تعیین رخساره‌های آلی از نمودارهای HI/TOC و HI/OI (شکل‌های ۱۱ و ۱۲) و برای شناسایی شرایط محیط رسوب‌گذاری از نمودارهای HI/TOC (شکل‌های ۱۳ و ۱۴) بهره‌گیری شده است.

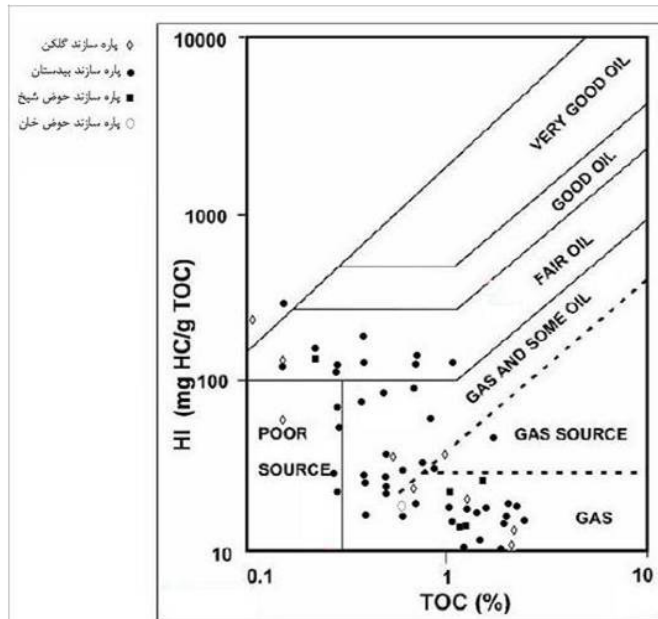
به دلیل نامعتبری‌بودن اندیس T_{\max} در برخی از شیل‌های تیره و بدون استفاده از نمودار HI/T_{\max} برای شناسایی نوع ماده آلی، در این بخش از نمودارهای S_2/TOC استفاده شده است (شکل‌های ۸ و ۹). بر پایه این نمودار-ها مشخص گردید که کروزن شیل‌های تیره با TOC بیش از ۱ درصد وزنی عمدتاً از نوع IV (حدود ۶۰ درصد نمونه‌ها، بدون پتانسیل تولید گاز خشک) و به مقدار بالای رشش دارای پتانسیل تولید گاز خشک (و با درجات کمتر (حدود ۳۰ درصد نمونه‌ها) از نوع III (با منشا خشکی‌زی و سرشار از ماسرال ویترینیت (قطعات فیبری، چوبی و مواد کلوئیدی هومیک)، دارای پتانسیل تولید



شکل ۸. نمودار S_2/TOC شیل‌های تیره سازند نایبند با TOC بیش از ۱ درصد وزنی [۳۳]، این نمونه‌ها بیشتر از کروزن‌های نوع IV (مواد آلی اکسید شده) و نوع III تشکیل شده‌اند.



شکل ۹. نمودار S_2/TOC شیل‌های تیره سازند نایبند با $\text{TOC} \leq 1$ درصد وزنی [۲۰] این نمونه‌ها عمدتاً از کروزن‌های نوع IV و نوع III تشکیل شده‌اند.



شکل ۱۰. نمودار HI/TOC جهت تعیین نوع پتانسیل تولیدی [۲۷]. ۵۸ درصد از نمونه‌های مورد مطالعه از نوع گاززا و ۱۹ درصد از نمونه‌ها دارای توانایی تولید گاز با کمی نفت هستند.

شیل‌های پاره سازند بیدستان نشان‌دهنده رخساره‌های D, C و CD با فراوانی رخساره D هستند. در نمودار HI/TOC , نمونه‌هایی بررسی شده دارای محدوده‌های رخساره‌ای CD (۷۲ درصد نمونه‌ها)، C (۲۴ درصد نمونه‌ها) و BC (۴ درصد نمونه‌ها) هستند. این محدوده‌های رخساره‌ای، شاخص محیط‌های قاره‌ای تا دریایی شدیداً اکسیدان (رخساره D)، اکسیدان (رخساره CD و C) و کم اکسیژن (رخساره BC) هستند.

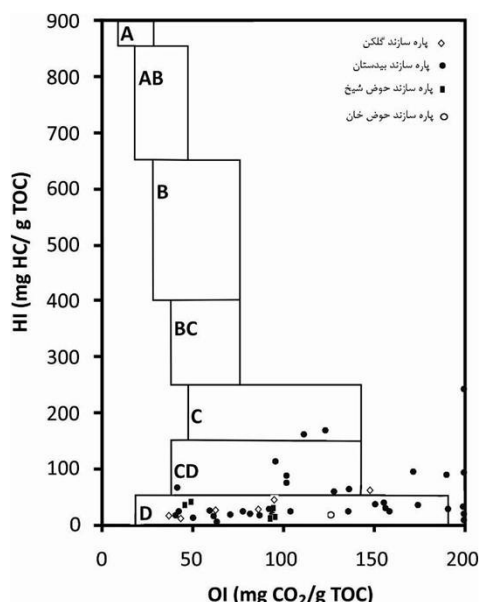
برای شناسایی رخساره‌های آلی شیل‌های تیره سازند نایبند از نمودارهای HI/OI و HI/TOC بهره‌گیری شد [۲۸] (شکل‌های ۱۱ و ۱۲). در نمودار HI/OI , شیل‌های تیره دارای محدوده‌های رخساره‌ای D (۲۰ درصد نمونه‌ها)، CD (۲۳ درصد نمونه‌ها) و C (۷ درصد نمونه‌ها) هستند. شیل‌های تیره پاره سازندهای حوض خان و حوض‌شیخ نشان‌دهنده رخساره D نمونه‌های پاره سازند گلکن دارای رخساره D و CD با فراوانی رخساره D و

کروزن‌های غالب III و IV و پراکنده‌گی رخساره‌های آلی شناسایی شده (به طور عمده رخساره آلی D) این مطلب را تایید می‌کند. نیاز به یادآوری است که معمولاً نمونه‌هایی با مقادیر TOC بین ۱ تا ۲ درصد وزنی و بیش از ۲ درصد وزنی به ترتیب نشانگر یک محیط حد واسط اکسیدی و احیایی بوده و از لحاظ پتانسیل تولید هیدروکربن خوب تا عالی هستند [۳۲ و ۳۳]. اما یافته‌های این پژوهش (شکل‌های ۱۳ و ۱۴) نشانگر آن است که با وجود شیل‌های تیره با بیش از ۱ درصد وزنی کربن آلی کل (حدود ۵۰ درصد نمونه‌ها)، نمونه‌های بررسی شده بیشتر نشانگر محیط اکسیدان و بدون پتانسیل تولید تا گازرا هستند (شکل ۹). این موضوع به دلیل مواد آلی چوبی و اکسید شده خشکی‌زی است که با این که میزان TOC به نسبت زیاد برخی نمونه‌ها، پتانسیل بالای تولید هیدروکربن را نشان نمی‌دهند. بنابراین همواره نسبت مستقیمی میان میزان TOC و اکسیژن در محیط رسوبی وجود ندارد و مقدار TOC به تنها‌ی نمی‌تواند معیاری برای شناسایی پتانسیل تولید هیدروکربن باشد. بر همین پایه، و همان‌گونه که در جدول ۱ آمده است، افزون بر TOC، باید اندیس‌های S₁ و S₂ جهت تعیین پتانسیل تولید در نظر گرفته شوند که بیشتر بر روی نوع ماده آلی تشکیل دهنده رسوبات تاکید دارند [۲۶ و ۳۳].

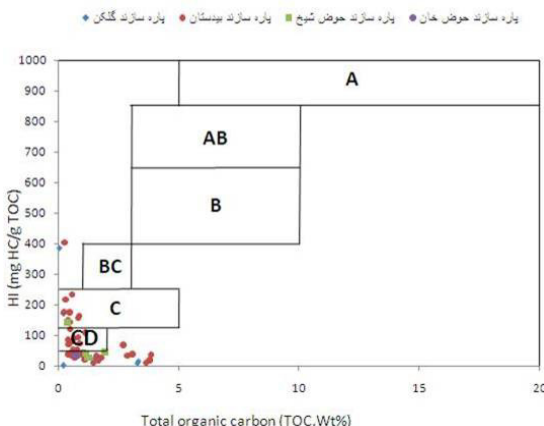
(جدول‌های ۴ و ۵). همچنین با مراجعه به جدول‌های ۴ و ۵ می‌توان رخساره‌های آلی شناسایی شده را از لحاظ پتانسیل تولید هیدروکربن و ارتباط آن‌ها با محیط رسوب‌گذاری بررسی نمود. نیاز به یادآوری است که رخساره‌های شناسایی شده با انواع کروزن‌های شناسایی شده (کروزن‌های غالب نوع IV و III متناسب با رخساره‌های آلی D، C و CD و کروزن‌های کمتر دیده شده مخلوط II/III و II متناسب با رخساره BC) نیز مطابق است.

بر پایه یافته‌های برگرفته از نمودارهای HI/TOC [۱۶ و ۳۱]، نمونه‌های سازند نایبند بیشتر در محدوده آب‌های بستر اکسیژن‌دار و ورود بالای مواد آلی قاره‌ای (۰-۱۰۰ درصد نمونه‌های پاره‌سازندهای حوض‌شیخ، حوض خان و ۹۵ درصد نمونه‌های پاره‌سازندهای گلکن و بیدستان) تهشین شده‌اند. ۵ درصد نمونه‌های پاره سازند گلکن بیدستان نیز در شرایط آب‌های بستر کم اکسیژن‌تر و با ورود مواد آلی قاره‌ای کمتر نسبت به بقیه نمونه‌های مطالعه شده هستند (شکل‌های ۱۳ و ۱۴).

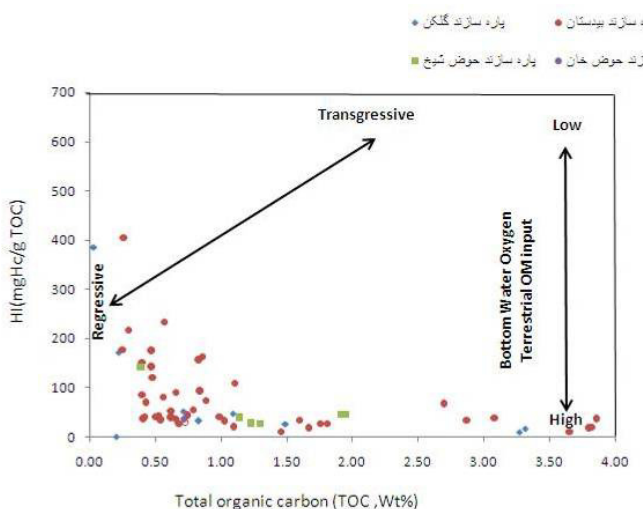
وجود کروزن‌های نوع II و نوع مخلوط II/III در کمتر از ۱۰ درصد نمونه‌های پاره سازندهای گلکن و بیدستان مovid همین مطلب می‌باشد (شکل‌های ۸ و ۹). نمونه‌های سازند نایبند بیشتر در شرایط پسروند نهشته شده‌اند (شکل‌های ۱۳ و ۱۴). به طوری که بیشتر حجم مواد آلی از مناطق خشکی (قاره‌ای) وارد حوضه شده‌اند. وجود



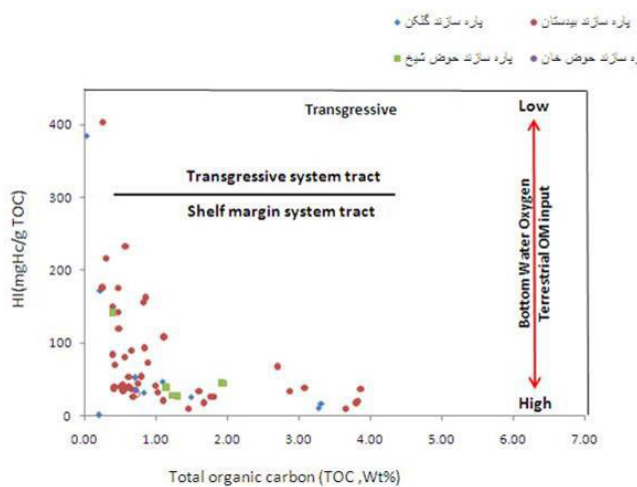
شکل ۱۱. نمودار HI/OI شیل‌های تیره سازند نایبند [۲۸]. نمونه‌های بررسی شده بیشتر در رخساره آلی D (سرشار از اینترتینایت و شدیداً اکسیدان) و به مقدار کمتر در رخساره‌های آلی CD (مواد آلی جابجا شده و خشکی‌زی) و C (مواد آلی خشکی‌زی) قرار گرفته‌اند.



شکل ۱۲. نمودار HI/TOC شیل‌های تیره سازند نایبیند [۲۸]، نمونه‌های بررسی شده بیشتر در رخساره CD (مواد آلی جابجا شده و خشکی‌زی در شرایط اکسیدان) و به مقدار کمتر در رخساره‌های C (مواد آلی خشکی‌زی در شرایط اکسیدان) و BC (مواد آلی مخلوط دریابی و خشکی‌زی در شرایط فقیر اکسیژن) قرار گرفته‌اند.



شکل ۱۳. نمودار HI/TOC شیل‌های تیره سازند نایبیند [۱۶]، نمونه‌های بررسی شده بیشتر در محدوده آب‌های بستر اکسیژن‌دار، ورود بالای مواد آلی قاره‌ای (خشکی‌زی) و شرایط پسروند تهنشین شده‌اند.



شکل ۱۴. نمودار HI/TOC شیل‌های تیره سازند نایبیند [۳۱]. نمونه‌های بررسی شده بیشتر در محدوده آب‌های بستر اکسیژن‌دار، ورود بالای مواد آلی قاره‌ای (خشکی‌زی) و شرایط پسروند تهنشین شده‌اند.

جدول ۲. نتایج حاصل از پارامترهای پیرولیز راک-اوال سازند نایبند در منطقه پرووده

Rock Unit	Sample NO.	Distance from the base (m)	Weight (mg)	TOC (wt%)	TIC (wt%)	TC (wt%)	Rock-Eval pyrolysis			HI	OI mg CO ₂ /g TOC	PI $\frac{S_1}{S_1+S_2}$	VRr (%)
							S ₁ (mg HC/g Rock)	S ₂ (mg HC/g Rock)	S ₃ (mg CO ₂ /g Rock)				
Gelkan Member	12-MY-02	3	99.5	8.14	0.91	9.05	0.07	0.68	2.74	8	34	0.10	1.02
	12-MY-03	6.5	99.9	0.20	5.40	5.60	0.03	0.14	0.90	71	448	0.15	
	12-MY-05	23	100.1	4.32	0.09	4.41	0.03	0.32	2.41	7	56	0.09	1.02
	12-MY-06	24	100.2	10.63	1.45	12.08	0.06	0.45	3.63	4	34	0.11	1.03
	12-MY-12	55	99.6	6.35	0.07	6.41	0.04	0.37	2.45	6	39	0.09	
	12-MY-18	80	99.8	3.27	1.37	6.64	0.04	0.34	1.47	10	45	0.10	
	12-MY-48	465	100.2	3.31	1.40	4.70	0.03	0.55	1.22	17	37	0.06	
	12-MY-50	466	100.0	1.09	0.02	1.11	0.03	0.51	1.03	47	94	0.05	
	12-MY-51	467	100.2	1.50	0.03	1.52	0.04	0.38	0.95	26	64	0.09	
	12-MY-52	468	100.0	0.22	0.02	0.24	0.03	0.38	0.76	172	345	0.06	
	12-MY-54	469.5	100.1	0.12	0.01	0.13	0.02	0.66	0.72	552	599	0.03	
	12-MY-56	470	100.1	0.04	0.01	0.05	0.03	0.32	0.92	884	2499	0.08	
	12-MY-68	501	99.9	40.26	1.56	41.82	0.12	1.23	8.57	3	21	0.09	1.07
	12-MY-73	502	100.4	0.84	0.02	0.86	0.02	0.27	0.73	32	88	0.08	
	12-MY-74	502.5	100.9	0.04	0.06	0.09	0.02	0.13	0.71	385	1978	0.13	
Bidestan Member	12-MY-79	507	100.0	0.71	0.03	0.74	0.02	0.37	1.05	52	148	0.06	
	12-MY-83	512	100.0	1.00	0.02	1.02	0.03	0.46	0.94	46	94	0.06	
	12-MY-84	513	100.4	0.40	0.02	0.42	0.03	0.34	0.76	84	187	0.07	
	12-MY-87	517	100.3	1.81	0.02	1.83	0.07	0.47	1.08	26	60	0.13	
	12-MY-90	521	99.7	1.03	0.02	1.05	0.02	0.33	0.84	32	82	0.07	
	12-MY-93	522	100.3	0.53	0.01	0.55	0.02	0.23	0.80	43	150	0.08	
	12-MY-95	523	100.2	0.73	0.02	0.750	0.03	0.22	1.15	30	158	0.14	
	12-MY-98	525	100.2	0.42	0.25	0.66	0.05	0.15	0.77	36	184	0.25	
	12-MY-101	527	99.9	0.62	0.02	0.64	0.03	0.33	0.82	52	131	0.07	
	12-MY-106	530	100.5	4.08	0.03	4.12	0.04	0.61	2.67	15	65	0.06	
	12-MY-107	531	100.2	2.70	0.03	2.73	0.22	1.82	1.18	67	44	0.11	
	12-MY-109	535	100.0	4.12	0.05	4.17	0.19	1.53	1.65	37	40	0.11	1.13
	12-MY-112	539	100.3	3.80	0.06	3.87	0.09	0.67	1.74	18	46	0.11	
	12-MY-114	541.5	100.3	1.76	0.04	1.80	0.03	0.46	1.42	26	80	0.07	
	12-MY-130	548	100.8	0.67	0.04	0.71	0.03	0.24	0.94	36	141	0.10	
	12-MY-138	552	100.3	7.71	0.02	7.74	0.18	1.53	3.53	20	46	0.11	0.96
	12-MY-145	556	99.7	0.80	0.02	0.82	0.03	0.43	1.14	54	144	0.07	
	12-MY-147	557	100.2	0.69	0.70	1.38	0.02	0.14	1.58	21	229	0.15	
	12-MY-152	559.5	100.2	1.68	0.05	1.73	0.03	0.29	0.84	18	50	0.09	

ادامه جدول ۲

Rock Unit	Sample NO.	Distance from the base (m)	Weight (mg)	TOC (wt%)	TIC (wt%)	TC (wt%)	Rock-Eval pyrolysis			HI mg HC/g TOC	OI mg CO ₂ /g TOC	PI $\frac{S_1}{S_1+S_2}$	VRr (%)
							S1 (mg HC/g Rock)	S2 (mg HC/g Rock)	S ₃ (mg CO ₂ /g Rock)				
Bidestan Member	12-MY-154	560.5	99.7	1.60	0.02	1.63	0.05	0.54	1.26	33	79	0.09	
	12-MY-156	562.3	100.6	1.46	0.02	1.48	0.04	0.13	3.29	9	224	0.22	
	12-MY-158	565.8	100.3	2.88	0.10	2.97	0.09	0.96	3.01	33	105	0.08	
	12-MY-165	572	100.3	0.47	0.02	0.50	0.04	0.67	1.04	142	219	0.05	
	12-MY-172	578	100.1	1.00	0.02	0.92	0.13	0.65	0.91	72	102	0.17	
	12-MY-180	582	100.3	1.11	0.04	1.15	0.04	0.22	1.03	20	93	0.14	
	12-MY-182	583	100.3	0.62	0.03	0.60	0.02	0.23	0.89	40	156	0.07	
	12-MY-184	584	100.2	4.08	0.02	0.57	0.03	0.49	2.08	88	376	0.06	
	12-MY-186	585	99.9	0.43	0.04	0.47	0.02	0.17	0.87	40	204	0.13	
	12-MY-189	596	100.6	0.41	0.02	0.43	0.03	0.61	1.02	150	250	0.05	
	12-MY-198	605	99.8	0.75	0.02	0.77	0.02	0.33	1.15	44	153	0.05	
	12-MY-200	607.2	99.8	0.50	0.04	0.54	0.02	0.20	1.02	39	204	0.08	
	12-MY-202	608.5	100.4	0.43	0.02	0.45	0.02	0.30	1.17	69	271	0.06	
	12-MY-208	611	100.0	0.66	0.01	0.67	0.04	0.59	1.16	89	175	0.07	
	12-MY-209	615	99.5	0.62	0.02	0.64	0.02	0.24	1.10	38	177	0.08	
	12-MY-237	729	100.6	0.54	0.03	0.57	0.02	0.19	1.04	34	190	0.09	
	12-MY-275	781.5	100.2	0.57	0.02	0.60	0.17	1.33	1.26	233	221	0.11	
	12-MY-277	782.2	100.0	0.48	0.02	0.50	0.17	0.57	1.25	120	260	0.23	
	12-MY-279	783.5	100.5	0.30	0.01	0.31	0.09	0.65	1.29	216	430	0.13	
	12-MY-286	785	99.8	3.08	0.21	3.30	0.16	1.18	1.76	38	57	0.12	
	12-MY-287	786	100.2	1.11	0.06	1.17	0.40	1.20	1.09	108	98	0.25	
	12-MY-296	789.1	100.4	6.20	0.04	6.24	0.05	0.63	2.52	10	41	0.07	1.10
	12-MY-298	791.5	99.9	0.56	0.02	0.58	0.03	0.45	1.59	80	283	0.06	
	12-MY-307	796.7	100.7	0.86	0.05	0.91	0.31	1.40	1.07	162	124	0.18	
	12-MY-309	802.5	100.4	0.84	0.05	0.89	0.34	1.31	0.98	156	116	0.20	
	12-MY-328	825	100.2	0.85	0.02	0.87	0.06	0.79	1.61	93	189	0.08	
	12-MY-336	841	100.2	3.65	2.45	6.10	0.06	0.33	2.14	9	59	0.14	
	12-MY-352	870	100.2	0.26	0.02	0.28	0.03	0.46	0.95	176	366	0.05	
	12-MY-355	880.5	100.4	3.83	0.17	4.00	0.06	0.75	2.59	20	68	0.08	
	12-MY-358	885	100.0	0.48	0.02	0.50	0.08	0.84	2.03	175	423	0.09	
	12-MY-361	887.4	100.7	0.26	0.02	0.29	0.26	1.07	1.62	403	609	0.20	
	12-MY-363	916.2	99.7	8.90	0.20	9.11	0.17	1.53	4.92	17	55	0.10	0.90
	12-MY-365	917.5	100.2	16.08	0.13	16.21	0.21	2.04	7.58	13	47	0.09	
	12-MY-368	918.6	99.8	7.24	0.07	7.31	0.19	0.84	2.75	12	38	0.18	0.91

ادامه جدول ۲

Rock Unit	Sample NO.	Distance from the base (m)	Weight (mg)	TOC (wt%)	TIC (wt%)	TC (wt%)	Rock-Eval pyrolysis			HI mg HC/g TOC	OI mg CO ₂ /g TOC	PI $\frac{S_1}{S_1+S_2}$	VRr (%)
							S1 (mg HC/g Rock)	S2 (mg HC/g Rock)	S3 (mg CO ₂ /g Rock)				
Bidestan Member	12-MY-371	920	100.2	3.86	0.11	3.97	0.28	1.42	1.68	37	43	0.17	
	12-MY-374	921	99.8	2.48	0.04	2.52	2.17	40.77	65.24	1643	2629	0.05	
	12-MY-376	922	99.5	5.76	0.05	5.81	0.19	1.29	2.95	22	51	0.13	0.98
	12-MY-379	925	100.3	48.00	0.68	48.70	0.21	1.03	5.66	2	12	0.17	1.01
	12-MY-381	927	99.6	45.69	0.00	45.70	0.71	4.77	22.69	10	50	0.13	0.99
	12-MY-384	930.5	100.1	1.15	0.05	1.20	0.05	0.44	1.03	39	89	0.10	
	12-MY-389	948	100.1	5.70	0.17	5.88	0.06	1.12	3.29	20	58	0.05	0.94
	12-MY-390	950	99.7	7.27	0.17	7.45	0.07	1.43	3.49	20	48	0.05	1.10
	12-MY-392	955	100.5	28.34	0.26	28.60	0.34	3.22	17.79	11	63	0.10	1.04
	12-MY-403	1015.4	100.1	1.93	0.08	2.01	0.11	0.86	0.95	44	49	0.11	
Howz-e-Sheikh Member	12-MY-405	1019	100.3	1.95	0.18	2.13	0.12	0.86	0.95	44	49	0.12	
	12-MY-408	1021	100.3	0.40	0.02	0.42	0.04	0.56	2.05	141	516	0.06	
	12-MY-426	1036	99.6	1.30	0.05	1.35	0.04	0.35	1.26	27	96	0.11	
	12-MY-427	1040	99.8	1.23	0.03	1.26	0.03	0.33	1.12	27	91	0.08	
	12-MY-453	1196.2	100.3	27.89	0.00	27.90	0.20	1.43	21.08	5	76	0.12	0.84
Howz-e-Khan Member	12-MY-461	1262	99.6	18.50	0.37	18.87	0.07	0.53	7.07	3	38	0.11	0.97
	12-MY-507	1375	99.5	0.72	0.04	0.76	0.03	0.25	0.97	35	135	0.10	
	12-MY-510	1395	100.6	4.72	0.77	5.49	0.06	0.33	2.05	7	43	0.15	0.95

جدول ۳. مقادیر قابل انتکای پارامترهای پیرولیزی و ضریب بازتاب و بتربینیت در شیل‌های زغالی سازند ناییند در برش پرووده

Members	TOC	HI	OI	S ₁	S ₂	S ₃	PI	S ₂ /S ₃	S ₁ +S ₂	VRr
Gelkan	4.31-40.26	3-8	21-56	0.03-0.12	0.32-1.23	2.41-8.57	0.09-0.11	0.12-0.24	0.35-1.34	1.01-1.06
Bidestan	4.08-16.08	10-49	40-65	0.03-0.21	0.49-2.04	1.65-7.58	0.6-0.18	0.25-0.92	0.68-2.25	0.89-1.12
Howz-e-Sh	5.7-48	2-39	12-63	0.06-0.71	1.03-4.77	2.95-22.69	0.05-0.17	0.18-0.43	1.18-5.48	0.94-1.09
Howz-e- K	4.72-27.89	3-7	38-76	0.06-0.2	0.33-1.43	2.05-21.08	0.11-0.15	0.06-0.16	0.39-1.63	0.84-0.96

جدول ۴. رخسارهای آلی، مواد آلی چیره، موجودات اولیه، انواع هیدروکربن تولیدی و محیط‌های رسوبی [۲۸]

Organic Facies	Dominant Organic Matter	Primary Organisms	Depositional Environments	Primary Products
A	Algal, amorphous	Botyococcus, Tasmanites	Lacustrine, persistent anoxia stratified H ₂ O. Warm humid climate	OIL
AB	Amorphous, highly fluor. Minor terrestrial input	Conspicuous Tasmanites	Persistent anoxia, transgressive, warm-equable climate. Well laminated	OIL
B	Amorphous, common. Terrestrial input	Conspicuous Tasmanites during Cretaceous. Marine/non- marine algae & associated bacteria	Less persistent anoxia marine or lacustrine. Transgressive seas shallow-medium depths. Laminated	OIL
BC	Mixed; some oxidation. Partially oxidized during Cretaceous. Algal	Variable algal input. Diverse	Terrestrial & marine organic matter. Pro-delta muds- outer shelf, upper continental slopes. Rapid deposition in Oxidic H ₂ O. Rapid vertical variations	LIQUIDS and GAS
C	Terrestrial; some oxidation	Telinite & Colinit. Low amounts of spores, cuticles & resinite	Oxic H ₂ O-Moderate rapid deposition in anoxic conditions	GAS Prone
CD	Oxidized; reworked organic matter	Varying amounts terrestrial & reworked organic matter Some fine grain amorphous organic matter of unknown origin.	Marine fore-deeps in front of rising mountain ranges	Moderate DRY GAS capacity
D	Highly oxidized	Dominant inertinite. Highly oxidized or redeposited residual organic matter.	Deep ocean to terrestrial	DRY GAS only at high maturity

جدول ۵. ارتباط بین رخساره‌های آلی با محیط رسوب‌گذاری [۴۰] شیل‌های زغالی سازند نایبند در رخساره D در محیط به شدت اکسیدان با نرخ رسوب‌گذاری پایین و دور از خاستگاه نهشته شده‌اند.

Organic facies		A	A B	B	BC	C	CD	D
Environmental factors	Sediment accumulation rate	Low		Varies	High		Mod	Low
	Oxygen regime	Anoxic		Anoxic - dysoxic		Oxic		V. Oxic
	Proximal - Distal trend	Distal		Proximal		Distal		

جدول ۶. مقادیر قابل اتكای پارامترهای پیرولیزی در شیل‌های تیره سازند نایبند در برش پروده

Members	TOC	HI	OI	S ₁	S ₂	S ₃	PI	S _{2/S₃}	S _{1+S₂}
Gelkan	0.03-3.31	10-400	37-148	0.02-0.04	0.13-0.66	0.73-1.47	0.03-0.1	0.14-0.49	0.15-0.68
Bidestan	0.4-3.86	9-403	43-283	0.02-0.4	0.13-1.82	0.77-3.01	0.05-0.25	0.03-1.54	0.16-2.04
Howz-e-Sh	0.39-1.95	27-147	49-96	0.03-0.12	0.33-0.86	0.95-1.26	0.06-0.12	0.27-0.9	0.39-0.98
Howz-e- Kh	0.72	35	135	0.03	0.25	0.97	0.1	0.25	0.28

مواد اکسید شده، سبب کاهش مقادیر S₁ و S₂ از مقادیر واقعی و تغییر کروزن می‌شود که باید این مورد را نیز در تفسیر نتایج در نظر گرفت.

پیشنهاد

بهتر است در پژوهش‌های تکمیلی برای شناسایی دقیق تر نوع کروزن، روش‌های دیگری مانند شناسایی نسبت اتمی H/C و O/C، پتروگرافی آلی و کروماتوگرافی گازی بهره گرفت. در این نوشتار، برای شناسایی درجه رسن ماده آلی شیل‌های تیره از اندیس تولید (PI) استفاده شده است. با توجه به اینکه این اندیس، تا حد بسیاری وابسته به عوامل مختلفی مانند نوع ماده آلی و..... می‌باشد، بنابراین، شناسایی درجه رسن گرمایی کروزن بر پایه این پارامتر باید توسط روش‌های دیگری مانند شناسایی اندیس دگرسانی گرمایی (TAI) و اندازه‌گیری بازتاب ویتنیت تایید گردد. نیاز به یادآوری است که برای بررسی تاثیر محیط رسوبی بر نوع کروزن و میزان حفظشده‌گی مواد آلی در بخش‌های مختلف سازند نایبند، شناسایی دقیق رخساره‌های سنگی و میکروسکوپی و به دنبال آن محیط رسوبی بخش‌های مختلف سازند نایبند در پژوهش‌های آینده ضروری است.

حدوده‌های و ملاحظات

پارامتر اندیس هیدروژن و شاخص تولید به تنها ی شاخص‌های دقیقی برای بررسی پتانسیل تولید هیدروکربن از شیل‌های زغالی نیست [۳۸]. بهتر است برای شناسایی پتانسیل هیدروکربن‌زایی شیل‌های زغالی از مجموع پارامترهای رئوشیمیایی و پتروگرافی (شناسایی محتوی ماسرالی) استفاده نمود. افزون بر این، برای بررسی‌های دقیق‌تر، واکاوی‌های GC-Mass, NMR، و شناسایی نسبت اتمی H/C و O/C ضرورت دارد. عوامل موثر در پارامترهای به دست آمده از پیرولیز نمونه‌های شیلی تیره مورد بررسی شامل اثر ماتریکس-کانی (دارا بودن اجزای آواری) و اکسید شدگی ماده آلی می‌باشد. اثر ماتریکس-کانی سبب کاهش مقادیر TOC، HI و S₂ از مقادیر واقعی آنان می‌شود [۲۶ و ۲۲]. کانی‌های رسی مهم‌ترین عامل جذب هیدروکربن هستند [۴۱]. همان گونه که به نظر می‌رسد، احتمالاً شیل‌های سازند نایبند دارای مقادیر بسیاری رس هستند و این عامل منجر به جذب میزان بیشتری هیدروکربن در زمان پیرولیز می‌گردد. در سنگ‌های با کربن آلی کمتر از ۱ درصد وزنی (نسبت کم ماده آلی به معدنی)، اثر ماتریکس-کانی بیشتر خواهد بود [۲۶]. همچنین، مواد آلی هنگام تراباری، رسوب‌گذاری، دیاژنز و حتی در مراحل آماده‌سازی نمونه‌ها در آزمایشگاه اکسید می‌شوند. پیرولیز

شیل‌های تیره نشان داده شده است. همچنین بر پایه مقادیر اندیس هیدروژن و کربن آلی کل، این شیل‌ها بیشتر در محدوده آب‌های بستر اکسیژن‌دار، شرایط پیرونده و ورود بالای مواد آلی قاره‌ای (خشکی‌زی) تهشیش شده‌اند.

سپاسگزاری

از مدیر عامل محترم شرکت زغال‌سنگ پروده طبس (آقای مهندس کریتی ثانی) و مسئول سابق اداره آموزش آن شرکت (آقای مهندس جلالی) به دلیل فراهم آوردن شرایط لازم جهت اسکان یک ماهه در محدوده معادن پروده، از آقایان پروفسور راف لیتکه و دکتر دانیل مانهوف (انتستیتو زمین‌شناسی و ژئوشیمی نفت و گاز دانشگاه آخن)، برای همکاری و انجام واکاوهای مورد نیاز این پژوهش و از داوران و مسئولین محترم دوفصلنامه رسوب‌شناسی کاربردی به خاطر همکاری صمیمانه و یادآوری نکات سودمند، صمیمانه سپاسگزاری می‌شود. مرحوم مهندس حجت مقدم شبیلو، مرخصی دوران خدمت سربازیش را وقف کمک به نگارنده‌گان این مقاله برای انجام بازدیدهای میدانی در پاییز ۱۳۹۲ نمود، روانش شاد و یادش گرامی باد.

منابع

- [۱] آقاباتی، س. ع (۱۳۸۹) زمین‌شناسی ایران، سازمان زمین‌شناسی و اکتشافات معدنی کشور، چاپ سوم، ۶۰۶ صفحه.
- [۲] بهبهانی، رخدابخش، س. محسنی، ح و آتش‌مرد، ز (۱۳۸۶) بررسی پتانسیل هیدروکربن‌زایی سازند پابده (پالئون) (شمال غرب ایلام) بر پایه مطالعات پتروگرافی و ژئوشیمی آلی. فصلنامه پژوهشی علوم پایه، دانشگاه اصفهان، جلد ۲۷، شماره ۱، صفحات ۱۱-۲۶.
- [۳] شريعتنیا، م. ح (۱۳۷۴) ویژگی‌های زمین‌شناسی گستره پروده از حوضه زغالدار طبس- ایران مرکزی، فصلنامه علوم زمین، سازمان زمین‌شناسی و اکتشافات معدنی کشور، سال چهارم، شماره ۱۵ و ۱۶، صفحات ۵۹-۵۰.
- [۴] عباسی، ن. قویدل سیوکی، م. یوسفی، م و نویدی ایزد، ن (۱۳۹۵) اثر رخساره کروزیانا از نهشته‌های سازند نایبند (تریاس پسین) در برش پروده، جنوب باختری طبس، خاور ایران مرکزی، فصلنامه زمین‌شناسی ایران، جهاد دانشگاهی شهید بهشتی، سال دهم، شماره ۳۸، صفحات ۱۵-۱.

نتیجه‌گیری

با توجه به بررسی‌های میدانی انجام شده، لایه‌های دارای مواد آلی سازند نایبند در ناحیه پروده به دو دسته شیل‌های زغالی (بیش از ۴ درصد کربن آلی کل) و لایه‌های شیلی تیره رنگ (کمتر از ۴ درصد کربن آلی کل) تقسیم شده است. بر پایه یافته‌های برگرفته از واکاوی پیرویز راک-اوال VI، شیل‌های زغالی سازند نایبند در منطقه مورد بررسی، بیشینه کربن آلی کل ۴۸ درصد وزنی (در پاره‌سازند حوض شیخ)، بیشینه اندیس هیدروژن ۴۹ mgHc/gTOC (در پاره‌سازند بیدستان)، بیشینه اندیس اکسیژن ۷۶ mgCo₂/gTOC (در پاره‌سازند حوض خان)، بیشینه مقدار mgHc/gRock ۴/۷۷ S₂ (در پاره‌سازند حوض شیخ) و بیشینه انعکاس ویترینیت ۱/۱۲ درصد (در پاره‌سازند بیدستان) می‌باشد. تمام شیل‌های زغالی، دارای کروزن نوع IV (مواد آلی اکسید شده) هستند. مقادیر HI (کمتر از ۵۰ mgHc/gTOC)، S₂ (۰/۰۶ تا ۰/۹۲)، نشان دهنده آن است که شیل‌های زغالی مورد بررسی از نظر پتانسیل تولید هیدروکربن بیشتر در محدوده ضعیف و بدون کیفیت تولید هستند. با این که رسن گرمایی بالای شیل‌های زغالی (ضریب انعکاس ویترینیت بین ۰/۸۴ تا ۱/۱۲ درصد و جای‌گیری آن‌ها در مرحله بالغ)، به دلیل سرشار بودن از مواد آلی اکسید شده (کروزن نوع IV)، بدون توان تولید هیدروکربن هستند. با توجه به مقادیر اندیس‌های هیدروژن و اکسیژن، محدوده رخساره آلی D (مواد آلی قاره‌ای و رسوب‌گذاری آرام در آب‌های به شدت اکسیژن دار) برای شیل‌های زغالی شناسایی شده است. همچنین با توجه به مطالعات مشابه صورت گرفته بر روی شیل‌های تیره این سازند، بیشینه کربن آلی کل ۳/۸۶ درصد وزنی، بیشینه اندیس هیدروژن ۴۰۳ mgHc/gTOC، بیشینه اندیس اکسیژن ۱/۸۲ S₂، بیشینه مقدار ۸۳ mgCo₂/gTOC، بیشینه مقدار ۲۰۴ S₁+S₂ mgHc/gRock و بیشینه شاخص تولید ۰/۲۵ همگی در پاره سازند بیدستان می‌باشد. مقادیر به دست آمده از پیرویز راک-اوال نشان می‌دهد که نمونه‌های شیلی عمدتاً گاززا و دارای کروزن‌های III و IV هستند. بر پایه مقادیر اندیس‌های هیدروژن، اکسیژن و کربن آلی کل، به ترتیب فراوانی محدوده رخساره‌های آلی D، C، CD و BC برای

- [15] Curry, D. J. Isaksen, G. H. and Yeakel, J. D (1998) Controls on the oil and gas potential of humic coals. *Organic Geochemistry*, 29: 23-44.
- [16] Dean, W. E. Arthur, M. A. and Claypool, G. E (1986) Depletion of ^{13}C in Cretaceous marine organic matter: source, diagenetic, or environmental signal. *Marine Geology*, 70: 119-154.
- [17] Durand, B. and Paratte, M (1983) Oil potential of coals, a geochemical approach. *Geological Society Special Publication*, 12: 255-265.
- [18] Ghavidel-Syooki, M. Yousefi, M. Shekarifard. A. and Monhoff, D (2015) Palynostratigraphy, Palaeogeography and Source Rock Evaluation of the Nayband Formation at the Parvadeh area, Central Iran, Iran. *Journal of Sciences, Islamic Republic of Iran*. 26 (3): 241-263.
- [19] Gluyas, J. Swarbrick, R (2004) *Petroleum Geoscience*, Blackewell Publication, London, 349 p.
- [20] Goddard, D. A. Mancini, E. A. Talukar, S. C. and Horn, M (1997) Bossier-Hanesville shale, North Louisiana salt basin. Louisiana State University, Boton Rouge, Louisiana, center for energy, pdf file, <http://www.Api.Ning.Com/files>, 46.
- [21] Harris, N. B (2005) The deposition of organic carbon rich sediments: models, mechanisms and consequences- introduction. In: Harris, N. B. (ed.), *The deposition of organic carbon rich sediments: models, mechanisms, and consequences*. Special Publication. 82: Tulsa, 1-5.
- [22] Harris, N. B. Freeman, K. H. Pancost, R. D. Mitchell, G. D. White, T. S. and Bate, R. H (2005) Patterns of organic carbon enrichment in a lacustrine source rock in relation to paleo-lake level, Congo Basin, West Africa. In: Harris, N.B. (ed.), *The deposition of organic carbon rich sediments: models, mechanisms, and consequences*. Special Publication.Tulsa, 82: 103-123.
- [23] Hatcher, P. G. Clifford, D. J (1997) The organic geochemistry of coal: from plant materials to coal. *Organic Geochemistry*, 27: 251-274.
- [24] Huang, B. Xiao, X. Zhang, M (2003) Geochemistry, grouping and origins of crude oils in the western Pearl River Mouth Basin, Offshore South China Sea. *Journal of Organic Geochemistry*, 34: 993-1008.
- [25] Huc, A. Y (1991) Deposition of organic facies, AAPG Studies in Geology, The American Association of Petroleum Geologists, Oklahoma, U.S.A. 30: 231.
- [۵] منانی، م و ارزانی، ن (۱۳۹۲) رخسارهای رسوبی و اثرات طوفان در سیستم‌های آواری-کربناته تریاس پسین (نورین-رتین) در شمال اصفهان، ایران مرکزی. *فصلنامه پژوهش‌های چینه‌نگاری و رسوب‌شناسی*، دانشگاه اصفهان، شماره پیاپی ۵۲، شماره ۳، صفحات ۱۸-۱.
- [۶] ناظمی، م (۱۳۷۷) نوزمین ساخت بلوك طبس، با نگرشی بر زمین‌شناسی ساختمانی ناحیه قوری چای، پایان‌نامه کارشناسی ارشد زمین‌شناسی، پژوهشکده علوم زمین، سازمان زمین‌شناسی و اکتشافات معدنی کشور، ۱۷۰، صفحه.
- [۷] نبوی، م. ح (۱۳۵۶) *کمیته ملی چینه‌شناسی ایران، انتشارات سازمان زمین‌شناسی و اکتشافات معدنی کشور*. گاهنامه شماره یک، ۶۳ صفحه.
- [۸] نجفیان، ب (۱۳۹۰) *چینه‌شناسی (لیتواستراتیگرافی و پایو استراتیگرافی)* بخش بیدستان در مقطع تیپ سازند نایبند (ایران مرکزی)، *مجله علوم پایه دانشگاه آزاد اسلامی*، سال ۲۱، شماره ۸۱، صفحات ۱۴۱-۱۵۲.
- [۹] نجفیان، ب و جعفریان، م. ع (۱۳۸۷) *تحزیه و تحلیل محیط رسوبی بخش‌های مختلف سازند نایبند در ایران مرکزی*. *مجله علوم پایه، دانشگاه آزاد اسلامی*، سال ۱۸، شماره ۶۹، صفحات ۷۷-۸۸.
- [۱۰] یوسفی، م (۱۳۹۴) *پالئوپالینولوژی و توان هیدرولیکی سازند نایبند* (تریاس پسین) در محدوده معدن زغال‌سنگ پرووده طبس، ایران مرکزی. *رساله دکتری تخصصی زمین‌شناسی*، دانشگاه آزاد اسلامی واحد تهران شمال، ۳۵۲ صفحه.
- [۱۱] یوسفی، م. معمارنژادیان، ز و حسن‌لو، ع (۱۳۹۵) *پتانسیل‌یابی آب‌های کارستی بلوك طبس (استان خراسان جنوبی)*، *گزارش داخلی، سازمان زمین‌شناسی و اکتشافات معدنی کشور*, ۱۶۹ صفحه.
- [۱۲] Alizadeh, B. Alipour, M. Hosseini, S. H. and Jahangard, A. A (2011) Paleoenvironmental reconstruction using biological markers for the Upper Triassic–Middle Jurassic sedimentary succession in Tabas Basin, central Iran. *Journal of Organic Geochemistry*, 42: 431-437.
- [۱۳] Brönnimann, P. Zaninetti, L. Bozorgnia, F. Dashti, G. R. and Moshtaghian, A (1971) Lithostratigraphy and foraminifera of the Upper Triassic Nayband Formation, Iran. *Review Micropaleontology*, 14: 7–16.
- [۱۴] Cirilli, S. Buratti, N. Senowbari-Daryan, B. and Fursich, F. T (2005) Stratigraphy of the Upper Triassic Nayband Formation of East-Central Iran and paleoclimatological implications. *Rivista Italiana di Paleontologia e Stratigrafia*, 111: 259–270.

- [38] Thomas, L (2002) Coal geology. John Wiley and Sons Publication, 384 p.
- [39] Tyson, R. V (1995) Sedimentary Organic Matter. Organic Facies and Palynofacies. Chapman and Hall, London, 615 p.
- [40] Yalcin Erik, N. Ozcelik, O. Altunsoy, M. and Illeez, H (2004) Source rock hydrocarbon potential Middle Triassic-Lower Jurassic Cudi Group units in the eastern part of the SE Turkey. International Geology Review, 10: 163-171.
- [26] Hunt, J. M (1996) Petroleum geochemistry and geology. 2nd ed., New York, Freeman, 743 p.
- [27] Jackson, K. S. Hawkins, P. J. and Bennett, A. J. R (1985) Regional facies and geochemical evolution of the Southern Denison Trough, APEA Journal, 20: 143-158.
- [28] Jones, R. W (1987) Organic facies. In: Brooks, J., Welte, D., (ed.), Advances in petroleum geochemistry. London, Academic Press, 2: 1-90.
- [29] Kotorba, M. J. Wieclaw, D. Kosakowski, P. Zacharski, J. and Kowalski, A (2003) Evaluation of .Source rock and Petroleum potential of middle Jurassic strata in the South-eastern part of Poland: Prezeglad Geologiczny, 51: 1031-1040.
- [30] Marquis, F. Lafarge, E. and Espitalie, J (1992) The influence of maceral composition and maturity on the petroleum-generating potential of coals. In: Spencer, A. M., (ed.), Generation, Accumulation and production of Europe hydrocarbons II. Special Publication of the European Association of Petroleum Geoscientists 2, Springer-Verlag, Berlin, 239-247.
- [31] Pasley, M. Gregory, W. Hart, G. F (1991) Organic matter variations in transgressive and regressive shales: Organic Geochemistry, 17: 483-509.
- [32] Peters, K. E (1986) Guidelines for evaluating petroleum source rock using programmed pyrolysis. AAPG Bulletin, 70: 318-329.
- [33] Peters, K. E. and Cassa, M. R (1994) Applied source rock geochemistry. In: Magooon, L. B., Dow W. G. (ed.), the Petroleum System – From Source to Trap. American Association of Petroleum Geologists Memoirs 60: 93-120.
- [34] Repin, U (1982) Stratigraphy correlation between the Shemshak Serie and the Nayband Serie and their stratigraphic distribution (unpublished report of NISC, translated into Persian by Mahdian, M. H). 221p.
- [35] Seyed-Emami, K (2003) Triassic in Iran, Facies, 48: 91-106.
- [36] Seyed-Emami, K. Fürsich, F. T. and Wilmsen, M (2004) Documentation and significance of tectonic events in the Northern Tabas block (East-Central Iran) during the Middle and Late Jurassic, Rivista Italiana di Paleontologia e Stratigrafia, 110 (1): 163-171.
- [37] Snowdon, L. R. and Sykes, R (2002) Guidelines for assessing the petroleum potential of coaly source rock using Rock-Eval pyrolysis. Organic Geochemistry, 33: 1441-1455.